

О ДВУХ МЕХАНИЗМАХ СПЕКТРАЛЬНОЙ ДИФФУЗИИ В ОПТИЧЕСКИХ СПЕКТРАХ ПРИМЕСНЫХ ЦЕНТРОВ

И.С.Осадько

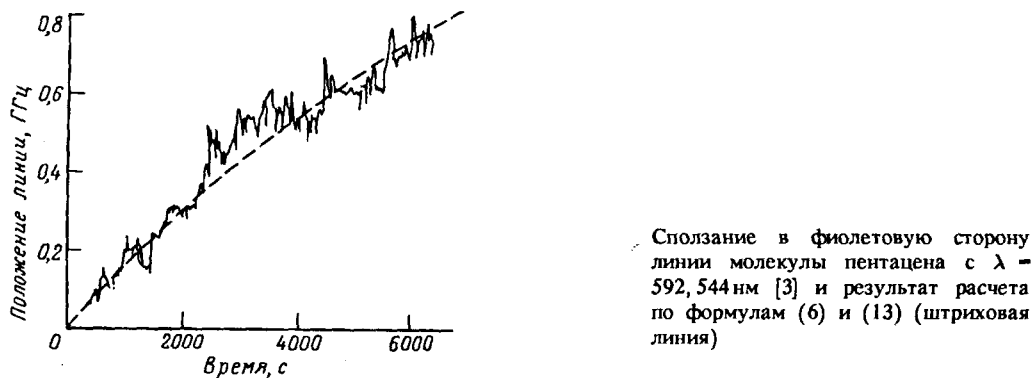
*Московский педагогический государственный университет
119882 Москва, Россия*

Поступила в редакцию 9 декабря 1994 г.

Рассматривается влияние диагонального и недиагонального по электронным индексам взаимодействия примесного центра с туннельными возбуждениями растворителя на временное поведение спектральных линий молекул пентацена в кристалле паратерфенила. Показано, что эти взаимодействия проявляют себя по разному в эффекте спектральной диффузии.

1. Спектральная диффузия (СД) проявляется обычно в спонтанном уширении со временем спектральных провалов, выжженных в неоднородно уширенных оптических полосах примесных центров [1,2]. СД обычно связывают с изменением резонансной частоты ω_0 хромофора под влиянием релаксации двухуровневых систем (ДУС) полимеров и стекол.

Изменения резонансной частоты примеси недавно изучались на мономолекулярном уровне [3]. Для молекулы пентацена в кристалле паратерфенила было обнаружено три типа изменений со временем в спектральных линиях различных примесных центров [3]: а) скачки линии с $\lambda = 592, 404$ нм между двумя спектральными положениями; б) скачки линии с $\lambda = 592, 582$ нм между многими спектральными проложениями; в) сползание линии с $\lambda = 592, 544$ нм в шкале частот на 0,6 ГГц за 1,6 ч – см. рисунок.



В работах [4-6] была предложена теория для объяснения эффектов а) и б). Эта теория принимает во внимание, что фенильные кольца молекулы паратерфенила могут туннелировать с изменением их ориентации. Однако теория [4-6] не может объяснить эффект в).

В данной статье показывается, что существуют два механизма СД. Один из них был учтен в [4-6]. Он проявляет себя через "прыжки" спектральной линии. Второй механизм, не учтенный в [4-6], приводит к монотонному смещению резонансной частоты ω_0 со временем.

2. Оператор Гамильтона электронно невозбужденного примесного кристалла возьмем в следующем виде:

$$H^g = \sum_n \epsilon_n C_n^+ C_n + H_{rel}, \quad (1)$$

где фермиевские операторы C_n^+ и C_n описывают рождение и уничтожение возбуждения в n -ой ДУС, которое дальше будет называться туннелоном. ϵ_n – энергия туннелона, H_{rel} определяет механизм релаксации туннелонов.

Адиабатический гамильтониан примесного кристалла, учитывающий электронные возбуждения, возьмем в виде

$$H^e = E_0 B_0^+ B_0 + \Sigma_n E_n B_n^+ B_n + \hat{D} + \hat{M} + H^g. \quad (2)$$

Здесь E_0, B_0^+, B_0 и E_n, B_n^+, B_n – энергии электронного возбуждения, а также операторы рождения и уничтожения электронного возбуждения в примеси и молекуле растворителя, соответственно. Электрон-туннелонное взаимодействие имеет диагональную, \hat{D} , и недиагональную, \hat{M} , по электронным индексам части. В диагональном взаимодействии \hat{D} примем во внимание взаимодействие с туннелонами только примесного центра:

$$\hat{D} = B_0^+ B_0 \sum_{n=1}^N \Delta_n C_n^+ C_n. \quad (3)$$

Здесь Δ_n описывает добавку к туннелонной энергии ϵ_n , появляющуюся при электронном возбуждении примеси.

Недиагональное взаимодействие \hat{M} возьмем в следующем виде:

$$\hat{M} = \sum_{n=1}^N M_{0n} (B_0^+ B_n C_n + B_0 B_n^+ C_n^+). \quad (4)$$

Это взаимодействие до сих пор не принималось во внимание при рассмотрении СД, но именно оно порождает эффект в). Рассмотрим этот вопрос подробнее.

3. СД обусловлена взаимодействием примесного центра с неравновесными туннелонами, которые стремятся к равновесию в течение всего времени эксперимента. Очевидно, что фазовая релаксация в системе таких туннелонов уже произошла и поэтому матрица плотности туннелонов имеет только диагональные элементы. Учитывая статистическую независимость туннелонов, их матрицу плотности можно записать так: $\hat{\rho}(t, T) = \prod_n \hat{\rho}_n(t, T)$, где

$$\hat{\rho}_n(t, T) = (1 - \rho_n(t, T)) C_n C_n^+ + \rho_n(t, T) C_n^+ C_n, \quad (5)$$

$$\rho_n(t, T) = f_n(T) + (\rho_n(0) - f_n(T)) e^{-R_n t}. \quad (6)$$

Здесь R_n – константа релаксации n -го туннелона, явный вид которой можно найти, если определен H_{rel} ; $\rho_n(0)$ – начальное, а $f_n(T) = [\exp(\epsilon_n/kT) + 1]^{-1}$ – конечное значение элемента матрицы плотности. При $R_n t \gg 1$ матрица $\hat{\rho}_n$ переходит в равновесную матрицу плотности.

Обозначим через ϵ_α , $|\alpha\rangle$ и ϵ_β , $|\beta\rangle$ собственные значения и собственные функции операторов H^g и H^e . Тогда выражение для оптической полосы примесного центра можно записать так ($\hbar = 1$):

$$I(\omega) = 2\pi \sum_{\alpha, \beta} <\alpha|\hat{\rho}(t, T)(dE)|\beta><\beta|(dE)|\alpha> \delta(\omega + \epsilon_\alpha - \epsilon_\beta), \quad (7)$$

где $\hat{\rho}(t, T)$ – матрица плотности неравновесных туннелонов, а оператор

$$(dE) = -i\Lambda(B_0 - B_0^+) \quad (8)$$

принимает во внимание взаимодействие со светом только примесного центра.

Вычисление функции формы $I(\omega)$ в нулевом приближении по \hat{M} может быть проведено точно [7-9]. Эти вычисления показывают, что диагональное взаимодействие \hat{D} хотя и приводит к уширению и сдвигу чисто электронной линии примеси, но полуширина и сдвиг ее пропорциональны обратному времени жизни туннелона R и поэтому для долгоживущих туннелонов, обуславливающих эффект СД, эти полуширина γ и сдвиг δ исчезающе малы (для $R^{-1} \equiv 200$ с, $\gamma \propto \delta < 10^{-3}$ Гц). При $\hat{M} = 0$, но $\hat{D} \neq 0$, для функции формы полосы получается такой результат [4,7-9] ($\omega_0 = E_0/\hbar$):

$$I(\omega, t) = \Lambda^2 \int_{-\infty}^{\infty} dx \cdot e^{i(\omega - \omega_0)x} I_D(x), \quad (9)$$

где

$$I_D(x) = \prod_{n=1}^N [1 + \rho_n(t, T)(e^{-i\Delta_n x} - 1)]. \quad (10)$$

Расчет формы электрон-туннелонной оптической полосы по формулам (9) и (10) проводился как для равновесных [7,9], так и неравновесных [4,8] туннелонов.

Теория Рэйли – Скиннера [4-6] для СД опирается на формулы (9) и (10). Если Δ_n убывает при удалении от примеси как $1/r^3$, то

$$I_D(x) \simeq \exp(-a(t, T)|x|). \quad (11)$$

Это выражение приводит к спектральной линии лоренцевой формы, ширина которой зависит от времени, то есть к лоренцевой СД.

4. Вычисление функции $I(\omega)$ с учетом оператора \hat{M} не удается провести точно даже в нулевом приближении по \hat{D} . Однако в актуальном для нас нерезонансном случае имеется малый параметр $M_{0n}/|E_0 - E_n - \epsilon_n| \ll 1$, поскольку $M_{0n} \simeq 10 - 100$ см⁻¹, а $E_0 - E_n \simeq 10^4$ см⁻¹. Поэтому мы можем использовать теорию возмущений по оператору \hat{M} . В первом неисчезающем по \hat{M} приближении появляется зависящая от времени добавка к резонансной частоте, то есть частота ω_0 в формуле (9) должна быть заменена на $\omega_0 - \Omega(t, T)$, где

$$\Omega(t, T) = \sum_{n=1}^N \frac{M_{0n}^2(1 - \rho_n(t, T))}{E_n + \epsilon_n - E_0}. \quad (12)$$

Эта добавка может очень медленно зависеть от времени, тем не менее ее величина может быть порядка ГГц. Оценим эту добавку. Поскольку M_{0n}^2 спадает в пространстве как $1/r^6$, то в формуле (12) реальный вклад в Ω вносят несколько слагаемых. Положим, что

$$\Omega(t, T) \simeq \frac{M^2}{E} (1 - \rho(t, T)). \quad (13)$$

Величина резонансного взаимодействия M между молекулами пентациена и паратерфенила нам неизвестна. Поэтому для оценки мы возьмем величину $M = 20 \text{ см}^{-1}$, которая была найдена для взаимодействия между двумя соседними молекулами в кристалле нафталина [10]. В системе пентациен-паратерфенил $E = E_1 - E_0 \simeq 10^4 \text{ см}^{-1}$. Поскольку $\rho(t, T) \simeq 1$, то мы находим $\Omega(t, T) \simeq 1 \text{ ГГц}$. Именно такой порядок величины имеет сползание линии на рисунке. Прерывистой линией изображена функция $\Omega(t, T)$, рассчитанная по формулам (13) и (6) при $M^2 f(T)/E = 1, 1 \text{ ГГц}$, $1/R = 10^4 \text{ с}$ и $\rho_n(0) = 0$. Хаотические прыжки спектральной линии, по-видимому, могут быть описаны теорией [4-6], принимающей во внимание диагональное взаимодействие \hat{D} . Монотонное сползание линии с $\lambda = 592, 544 \text{ нм}$ удовлетворительно описывается простой формулой (13). При $\rho_n(0) = 0$ и $\rho_n(0) = 1$ линии примеси смещаются со временем в фиолетовую и красную стороны спектра, соответственно.

5. Рассмотрим эффект СД на примере линии поглощения света квазиоднородным ансамблем примесных молекул, которые при $t = 0$ имеют частоту ω_p , однако в локальном окружении которых имеются ДУС с различными значениями $\rho(0)$ в интервале от 0 до 1. Поэтому с течением времени линии одних центров будут смещаться в красную сторону, а других – в фиолетовую. Если принять, что число тех и других центров одинаково, то форма линии ансамбля примесей может быть описана следующим выражением:

$$J(\omega, t) = \int_{-\infty}^{\infty} \frac{d\Omega}{\pi} P(\Omega) \frac{\gamma(T)/2}{[\omega - \omega_p - \Omega \rho(t, T)]^2 + [\gamma(T)/2]^2}, \quad (14)$$

где $P(\Omega)$ – плотность вероятности обнаружить примесный центр с данным значением $\Omega = M^2/E$, а $\gamma(T)$ – полуширина, обусловленная электрон-фононным взаимодействием. Теперь в выражении для $J(\omega, t)$ мы должны принять во внимание только фиолетовые сдвиги, соответствующие функции $\rho(t, T) = f(T)(1 - e^{-Rt})$. Возможность красных сдвигов учтена тем, что $P(-\Omega) \neq 0$. Лоренцева форма уширяющихся со временем провалов позволяет предположить, что распределение $P(\Omega)$ имеет вид лоренциана:

$$P(\Omega) = \frac{\Gamma/2}{\Omega^2 + (\Gamma/2)^2}. \quad (15)$$

Подставляя (15) в (14), мы находим для формы линии молекулярного ансамбля $J(\omega, t)$ следующее выражение:

$$J(\omega, t) = \frac{\Delta\omega(t, T)/2}{(\omega - \omega_p)^2 + (\Delta\omega(t, T)/2)^2}. \quad (16)$$

Полуширина лоренциана

$$\Delta\omega(t, T) = \Gamma\rho(t, T) + \gamma(T) \quad (17)$$

зависит от времени и температуры. Очевидно, что $\Delta\omega(0, T) = \gamma(T)$, а $\Delta\omega(\infty, T) = \Gamma f(T) + \gamma(T)$. Добавка $\Gamma f(T)$ к однородной полуширине $\gamma(T)$ обусловлена СД.

Автор благодарит Международный научный фонд Сороса (грант MIK000) и Российский фонд фундаментальных исследований (грант 94-02-03334-ф) за поддержку данного исследования.

1. W.Breinl, J.Friedrich, and D.Haarer, *J. Chem. Phys.* **81**, 3915 (1984).
2. K.Littau, Y.S.Bai, and M.D.Fayer, *J. Chem. Phys.* **92**, 4145 (1990).
3. W.P.Ambrose, Th.Basche, and W.E.Moerner, *J. Chem. Phys.* **95**, 7150 (1991).
4. P.D.Reilly and J.L.Skinner, *J. Chem. Phys.* **101**, 959 (1994).
5. P.D.Reilly and J.L.Skinner, *J. Chem. Phys.* **101**, 965 (1994).
6. P.D.Reilly and J.L.Skinner, Препринт WIS-TCL-814, Madison, Wisconsin, October, 1994.
7. И.С.Осадько, *ЖЭТФ* **90**, 1453 (1986).
8. I.S.Osad'ko, *Phys. Rep.* **206**, 43 (1991).
9. Н.Н.Зайцев, И.С.Осадько, *ЖЭТФ* **104**, 4042 (1993).
10. В.Л.Броуде, Э.И.Рашба, Е.Ф.Шека, *Спектроскопия молекулярных экситонов*, М.: Энергоиздат, 1981, стр. 38.